

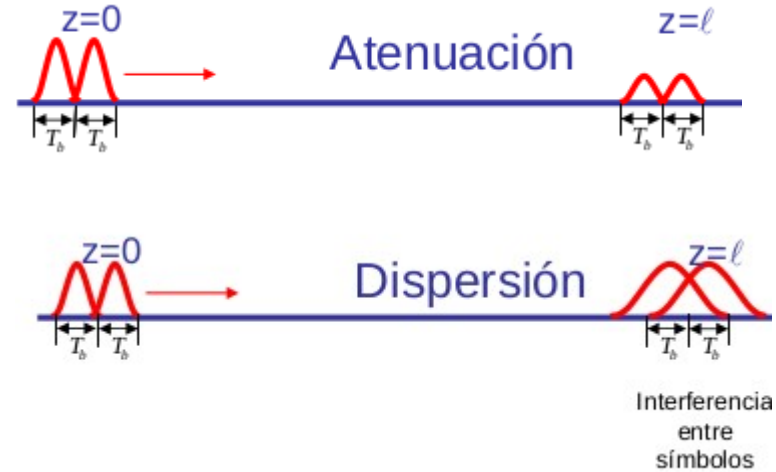
De la **atenuación** a la **interferencia entre símbolos ISI**

Modelos de señal

$$r(t) = C s(t) + n(t)$$

$$r(t) = C(t) * s(t) + n(t)$$

Intuición



Índice:

1. Modelo de 2 rayos
2. Consecuencias: diagrama de ojos.
3. Fibras ópticas
 - Dispersión
 - Causas y cuantificación
 - Efectos en transmisión

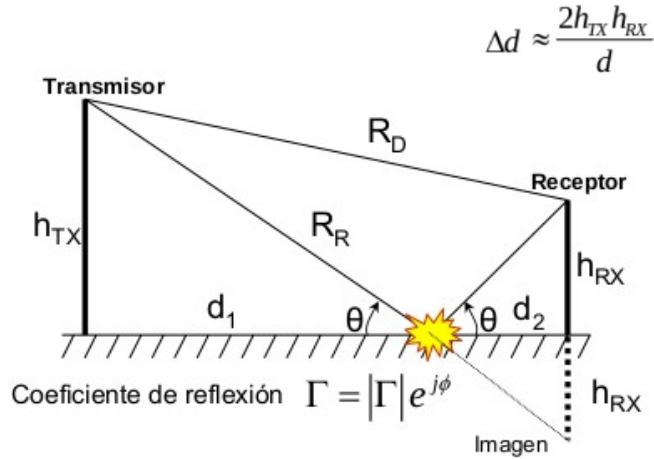
ISI: modelos de rayos

Reflexión en Tierra: Modelo de 2-Rayos

- Campo recibido: contribución del rayo directo (R_D) y del reflejado (R_R)

$$E_{RX} = E_{FS} + E_{REFLEJADO} = E_{FS} \left(1 + \Gamma e^{-j\frac{2\pi}{\lambda}\Delta d} \right) \left[\frac{V}{m} \right]$$

Desfase proporcional a la diferencia de caminos



Perspectiva de fasores:

$$r(t) = x(t) + b x(t - \tau)$$

$\tau \sim \Delta d / c$

si $x(t) = e^{j2\pi f_c t}$

$$r(t) = e^{j2\pi f_c t} + b e^{j2\pi f_c (t - \tau)} = e^{j2\pi f_c t} (1 + b e^{-j2\pi f_c \tau}) = x(t) H(f)$$

Perspectiva de señal:

$$r(t) = x(t) + b x(t - \tau) = x(t) + b x(t) * \delta(t - \tau) = x(t) * [\delta(t) + b \delta(t - \tau)]$$

Calculando la transformada de Fourier:

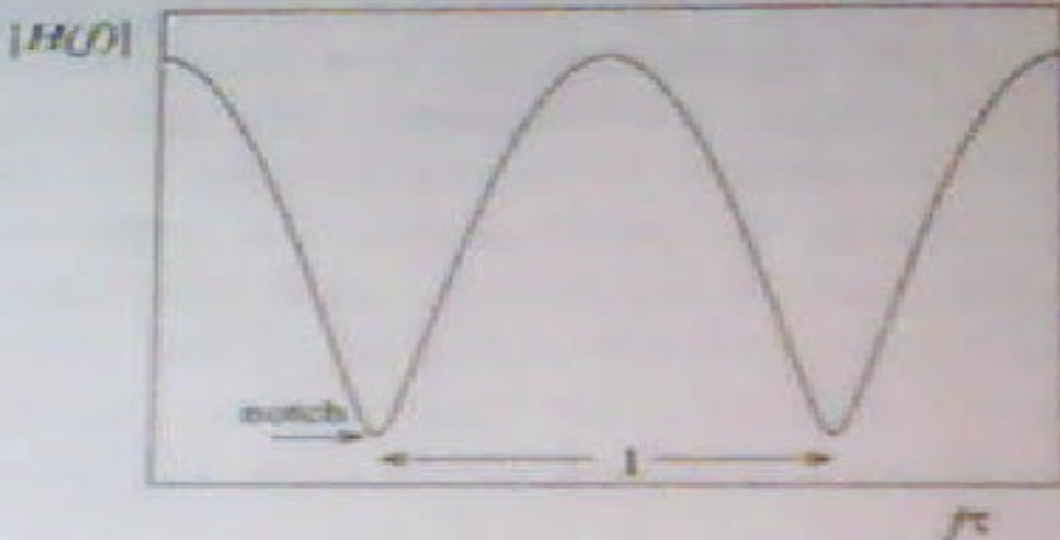
$$R(f) = X(f) (1 + b e^{-j2\pi f \tau}) = X(f) H(f) \quad \text{¡Módulo y fase!}$$

Modelo de 2 rayos: consecuencias del módulo

$$H(f) = 1 + be^{-j2\pi f\tau}$$

$$\begin{aligned} |H(f)| &= \sqrt{(1 + b \cos 2\pi f\tau)^2 + b^2 \sin^2 2\pi f\tau} \\ &= \sqrt{1 + b^2 + 2b \cos 2\pi f\tau} \end{aligned}$$

Véase la simulación!



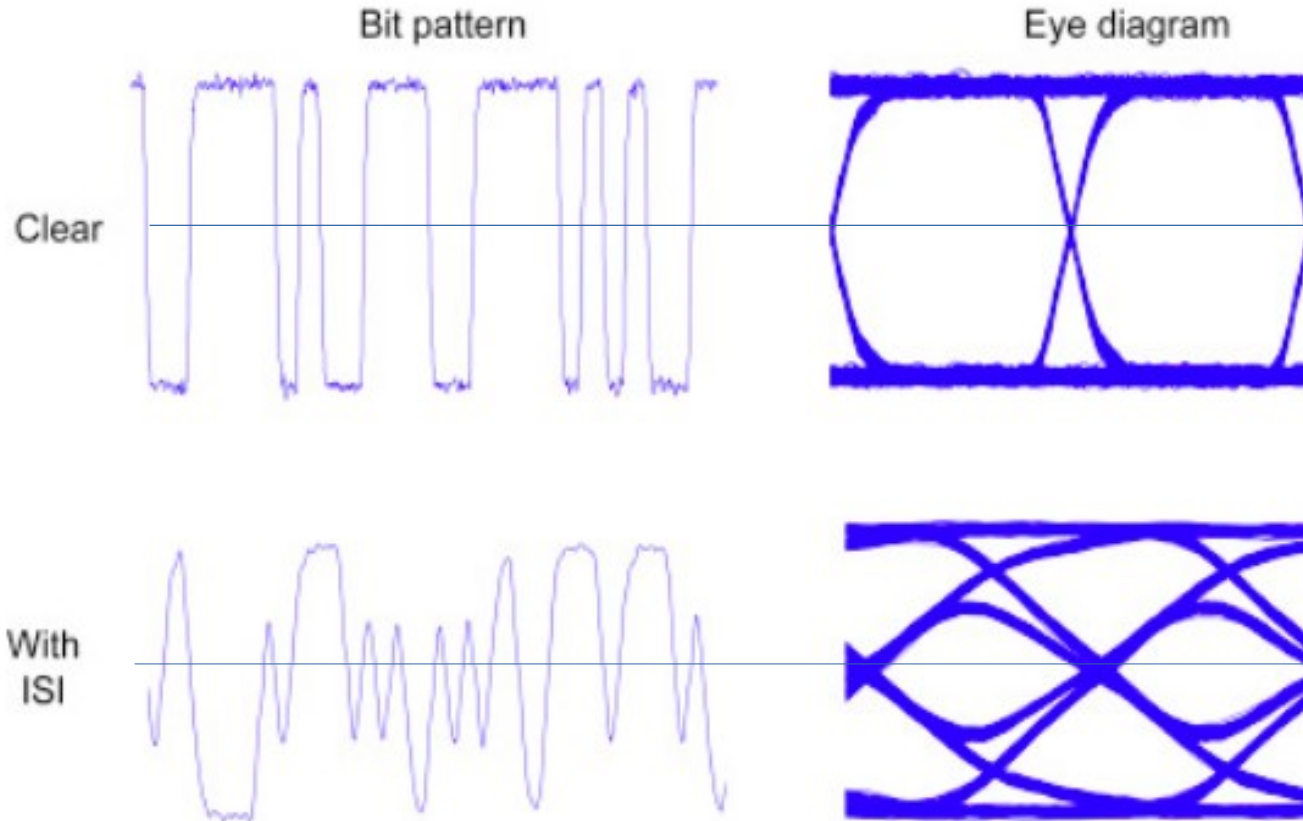
$$BW \sim \frac{1}{\tau}$$

1. ¿Qué pasa si $B_s \ll BW$?
2. ¿Qué pasa si $B_s \sim BW$?
3. ¿Qué pasa si $B_s \gg BW$?

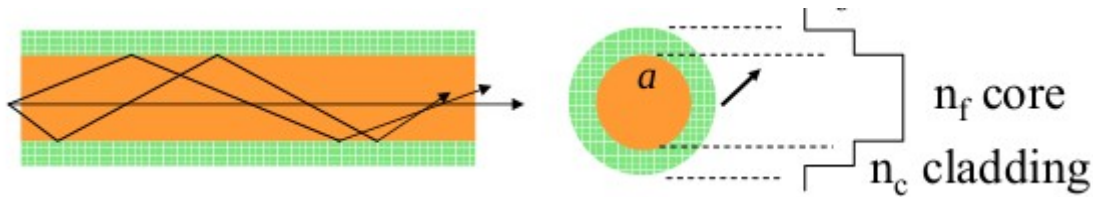
ISI: diagrama de ojos (~ consecuencias de la fase)

Para pensar en el impacto sobre la P_e , considere:

- 1- Muestreo en el centro del ojo
- 2- Presencia de ruido
- 3- Umbral de decisión = 0.

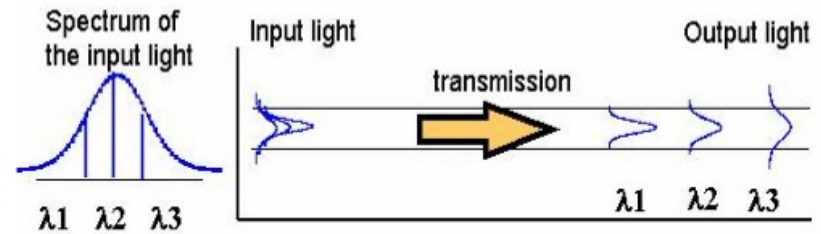


Dispersión en fibras ópticas: modelo de rayos

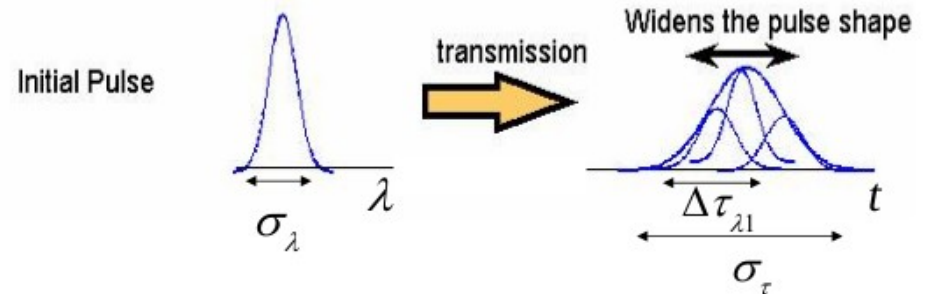


Multimode step-index Fiber

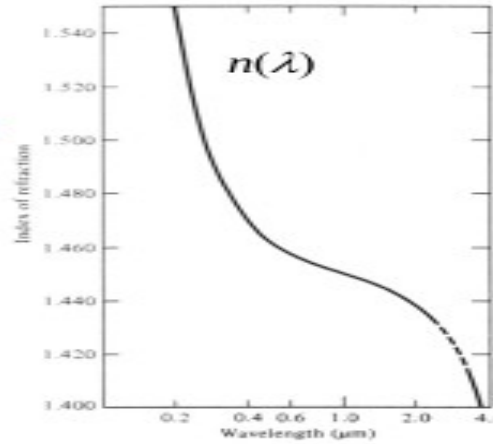
Efecto:



Cuantificación: $\sigma_{\tau} \equiv \Delta\tau = D_{tot}(\lambda)\sigma_{\lambda}l$



Dispersión en fibras ópticas: causas

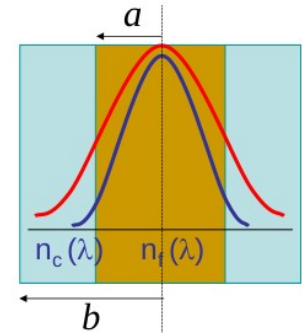


$$\tau_{\text{mat}} = \frac{l}{v_g} = l \frac{d\beta}{d\omega} = l \frac{d}{d\omega} \cdot \frac{\omega n(\lambda)}{c} = \frac{l}{c} \left(n(\lambda) + \omega \frac{dn(\lambda)}{d\omega} \right)$$

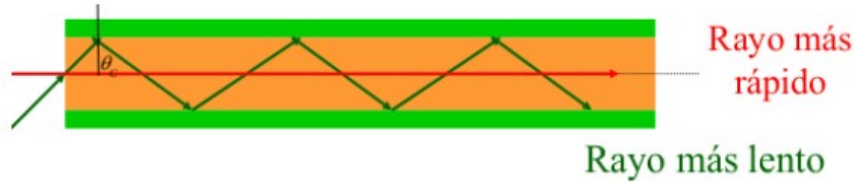
- Dispersión del Material
 - Dispersión efecto guíaonda
- } Dispersión Cromática

- Dispersión Intermodal: sólo para MMF

$$\frac{l\lambda}{(2\pi a)^2 n_f c} \sigma_\lambda$$



$$\Delta\tau_{\text{mod}} = \frac{l n_f}{c n_c} (n_f - n_c)$$



Dispersión: combinación de diferentes causas

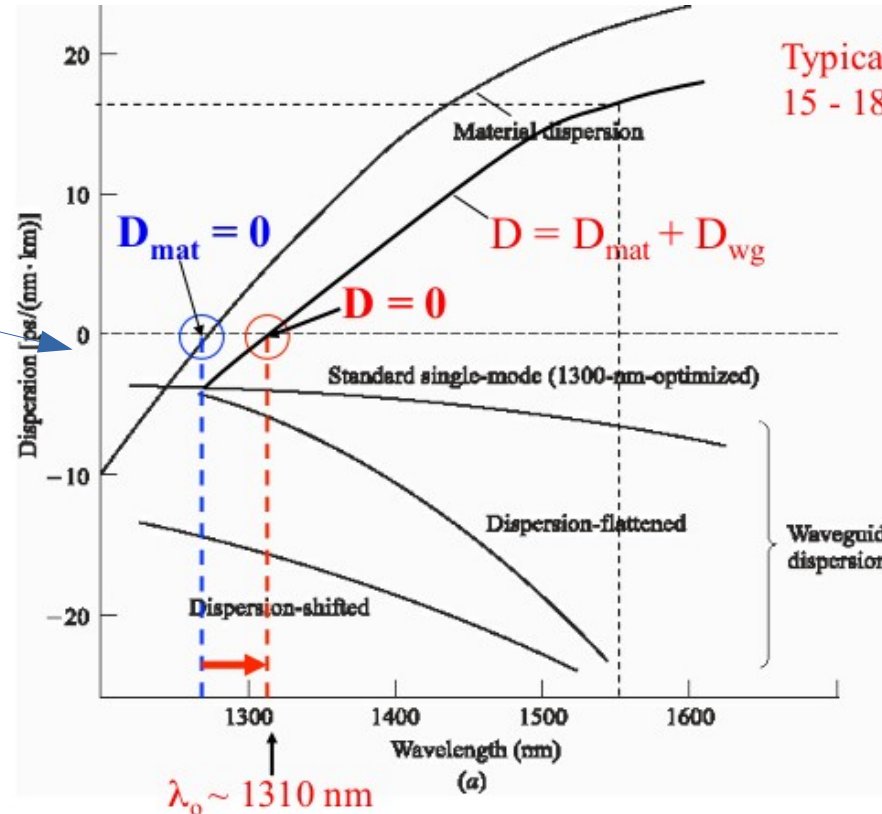
Se considera positiva

Si hay independencia,
Se suman los cuadrados
(ej. cromática y modal)

$$\sigma_{tot} = \sqrt{(\sigma_{mat} + \sigma_{wg})^2 + \Delta\tau_{mod}^2} = D_{tot}(\lambda)\sigma_{\lambda}l$$

Cuidado: si hay dependencia
puede haber cancelación y
el signo importa:

$$D_{crom}(\lambda) = D_{mat}(\lambda) + D_{wg}(\lambda)$$



Typical values of D are about
15 - 18 ps/(km-nm) near 1.55 μ m.

- $D_{wg}(\lambda)$ compensate some of the $D_{mat}(\lambda)$ and shifts the λ_{ZD} from about 1276 nm to a longer wavelength of ~ 1310 nm.

Discusión de los términos de

$$\text{Cuantificación: } \sigma \equiv \Delta\tau = D_{\text{tot}}(\lambda) \sigma_{\lambda} l$$

1. l es la longitud del enlace, con unidades típicas de **Kms**.

2 σ_{λ} , con unidades típicas de **nm** (nano-metros), es la variación de “longitud de onda portadora” ($\Delta\lambda$) debida a la modulación de la señal, por lo tanto, proporcional al ancho de banda de la señal (típicamente se suponen modulaciones binarias).

$$\lambda = c/f \Rightarrow \Delta\lambda = \frac{c}{f^2} \Delta f, \text{ con } \Delta f \gtrsim B$$
$$f = \lambda c \Rightarrow \frac{c}{f^2} = \frac{\lambda^2}{c}$$

$$\sigma_{\lambda} \gtrsim \Delta\lambda = \frac{\lambda^2}{c} B$$

Típicamente, el Δf del diodo emisor es mayor que los anchos de banda típicos y

podemos considerar σ_{λ} constante.

Por ejemplo:

$$B = 2.5 \text{ GHz}$$

$$\lambda = 1350 \text{ nm}$$

$$\Rightarrow \sigma_{\lambda} \sim 0.015 \text{ nm.}$$

3. $D(\lambda)$ tiene unidades típicas de ps/ nm-Km, p.ej. $D = 17$ ps/ nm-Km, fuerza las unidades en el resto de los componentes de la fórmula

Por ejemplo:

$$\text{Sea } \sigma_{\lambda} \sim 0.015 \text{ nm; } l = 30 \text{ Km y } D = 17 \text{ ps/nm-Km}$$

$$\text{Entonces } \Delta\tau \sim 7.6 \text{ ps.}$$

BLP: Producto ancho de banda- longitud

Típicamente, se considera que la distorsión máxima admisible es 25% de T_s

$$\Delta \tau = D \sigma_\lambda L = 0.25 T$$

Típicamente, las modulaciones son binarias ($\eta=1$)

$$B \sim \frac{1}{T} \text{ y } R = B$$

Por lo tanto:

$$BL = \frac{0.25}{D \sigma_\lambda}$$

Por ejemplo:

$$R=B= 2.5 \text{ Gbps}$$

$$D=17 \text{ ps/Km-nm}; \sigma_\lambda \geq 0.015 \text{ nm}$$

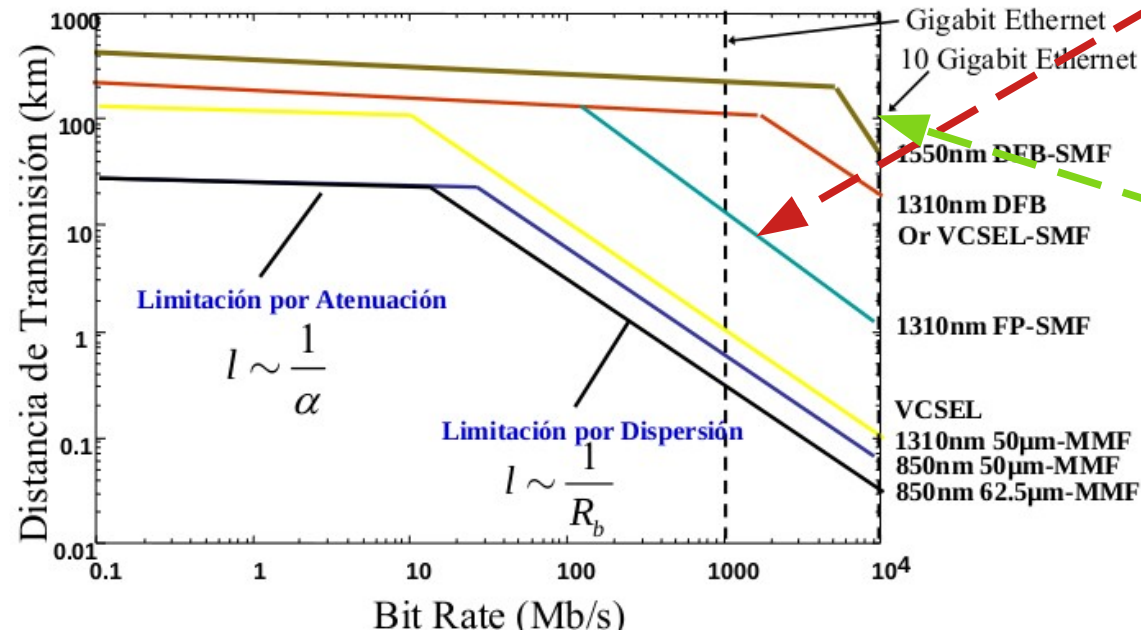
$$BL \sim 0,98 \text{ Km/ps} * 10^{12} \text{ ps/s} = 980 \text{ Gbps-Km}$$

$$(1/s \sim \text{Hz} \sim 1\text{bps})$$

Efectos de distorsión en la transmisión de datos ($B \sim R_b$)

Si la Δf del diodo emisor es mayor que los anchos de banda típicos y podemos considerar σ_λ constante.

$$BL = BLP \Rightarrow \log(B) + \log(L) = cte \Rightarrow \log(L) = cte - \log(B)$$



Si la Δf del diodo emisor es $\sim B$ y

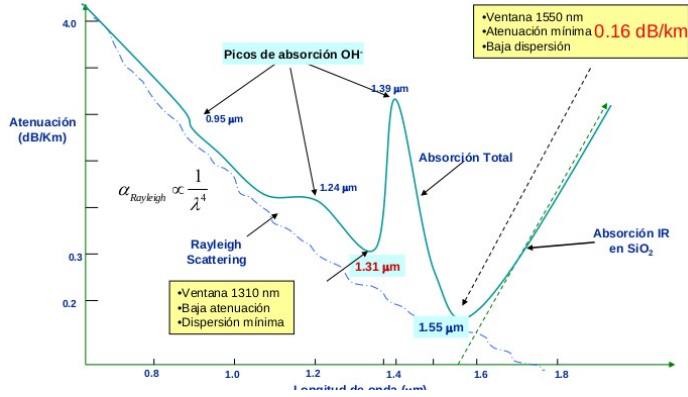
$$\sigma_\lambda \sim \frac{\lambda^2}{c} B$$

$$B^2 L = \frac{0.25}{D} \frac{\lambda^2}{c}$$

$$\log(L) = cte - 2 \log(B)$$

Efectos de la atenuación en la fibra óptica

$$A(\text{dB}) = \alpha \text{ (dB/Km)} L(\text{Km})$$



$$S = S_0 + 10 \log\left(\frac{R}{R_0}\right) = Pt - \alpha L$$

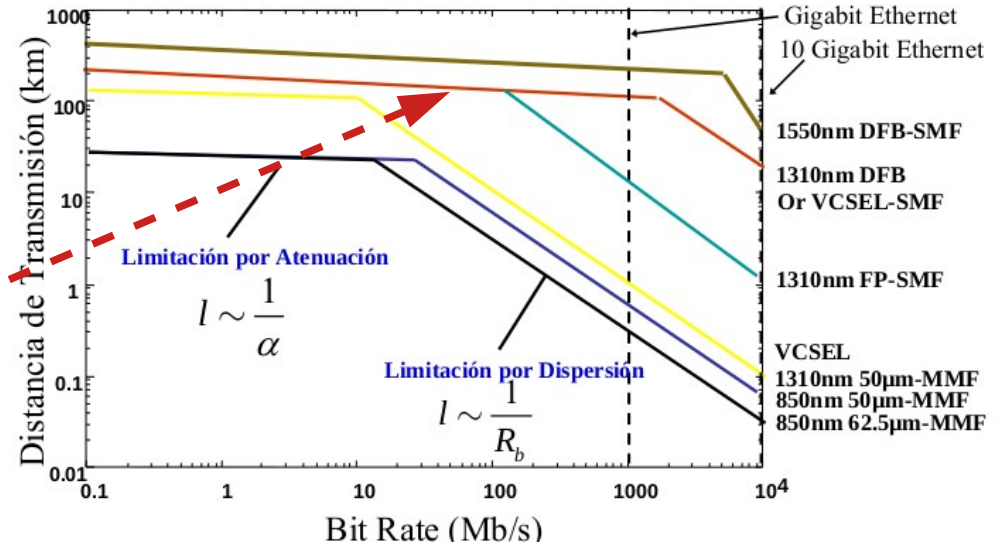
$$\alpha L = Pt - S_0 + 10 \log(R_0) - 10 \log(R)$$

$$\log(L) = \log\left(\text{cte} - \frac{10}{\alpha} \log(R)\right)$$

Efectos del cambio de R en la sensibilidad:

$$S_B = \frac{E_b}{N_0} + 10 \log_{10}(kT R_B)$$

$$S = \frac{E_b}{N_0} + 10 \log_{10}(kT R) = S_B + 10 \log\left(\frac{R}{R_B}\right)$$



Efectos totales en la transmisión de datos (L, R)

Vamos a tratarlos de forma separada
y nos quedamos con el más restrictivo para la longitud/tasa dadas.

- Atenuación

- ISI

